

## Circuit activ de ordin I – integrator

Scopul lucrării .....	1
Caracterizarea circuitului .....	2
Circuit real cu rezistența paralel.....	2
Descrierea circuitului .....	2
Calculul tensiunilor nodale și a curenților prin laturi .....	2
Calcularea funcției de transfer .....	2
Calcularea funcției de transfer pentru AO ideal.....	3
Descrierea folosind ecuațiile de stare a circuitului .....	3
Integrator .....	3
Descrierea circuitului .....	3
Calculul tensiunilor nodale și a curenților prin laturi .....	3
Calcularea funcției de transfer .....	4
Calcularea funcției de transfer pentru AO ideal.....	4
Descrierea folosind ecuațiile de stare a circuitului .....	4
Funcția de transfer $H(s)$ .....	5
Funcția de transfer în regim permanent $H(j\omega)$ .....	6
Răspuns în regim permanent.....	7
Răspunsul la semnal armonic.....	8
Răspunsul la semnal armonic de frecvență egală cu frecvența polului.....	8
Răspunsul la semnal armonic de frecvență înaltă .....	8
Răspuns de regim tranzitoriu .....	9
Răspunsul la semnal treaptă .....	9
Răspunsul la semnal dreptunghiular .....	10
Răspunsul la succesiune de pulsuri dreptunghiulare, bipolar - simetrice .....	11
Comportare ca integrator .....	11
Analiza PSPICE .....	12
Diagrama Bode de modul și fază pentru cele două circuite:.....	13
Funcția pondere.....	13
Comportare de integrator .....	14

### Scopul lucrării

În lucrarea de față ne propunem analiza unui integrator cu AO cu condensator în bucla de reacție.

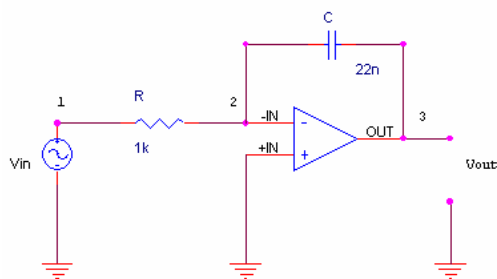


Fig .1  
Integrator

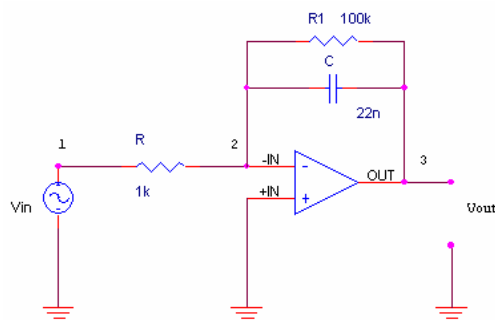


Fig.2  
Circuitul  
practic

Obs: -> În Fig1. se prezintă schema unui integrator cu AO, ideal.

-> În Fig2. se prezintă schema realizată practic, numit în continuare circuit.

## Caracterizarea circuitului

```
> restart:with(Syrup):
> libname:="c:\maple/SCSlib",libname:
```

### Circuit real cu rezistenta paralel

#### Descrierea circuitului

```
> circuit:=
"Integrator cu AO
Vin 1 0 Vin
R 1 2 R
C 2 3 C
R1 2 3
E 3 0 0 2 A
.end":
```

#### Calculul tensiunilor nodale si a curenților prin laturi

```
> syrup(circuit,ac,'curenti','tensiuni'):
Syrup/parsedeck: Analyzing SPICE deck "Integrator cu AO" (ignoring this
line)
> tensiuni;
```

$$\left\{ \begin{aligned} v_1 = V_{in}, v_3 = -\frac{A R_1 V_{in}}{A R + R_1 + R + A s C R R_1 + s C R R_1}, \\ v_2 = \frac{R_1 V_{in}}{A R + R_1 + R + A s C R R_1 + s C R R_1} \end{aligned} \right\}$$

```
> curenti:
```

#### Calcularea functiei de transfer

Exista mai multe metode de calcul a functiei de transfer:

##### Metoda 1: folosind formula amplificarii

Stim ca functia de transfer a unui asemenea circuit este descrisa de formula:

$$H(s) = -\frac{Z_2(s)}{Z_1(s)}, \quad Z_2(s) = \frac{R_1 * \frac{1}{sC}}{R_1 + \frac{1}{sC}}, \quad Z_1(s) = R$$

Astfel functia de transfer devine:

$$H(s) = -\frac{\frac{R_1 * \frac{1}{sC}}{R_1 + \frac{1}{sC}}}{R} = -\frac{R * \frac{1}{R_1 * C}}{s + \frac{1}{R_1 * C}}$$

Notand:  $a = \frac{1}{R * C}$  si  $a_1 = \frac{1}{R_1 * C}$  va rezulta ca :

$$H(s) = -\frac{a}{s + a_1}$$

##### Metoda 2: folosind modelul nului-norator

Cu ajutorul modelului nului-norator al AO:

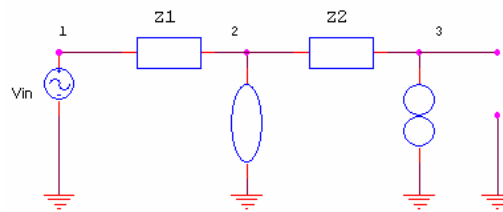


Fig .3  
Modelul  
nului  
nimator

Scriind ecuatiile Kirchoff 1 si 2 pe circuit :

$$\begin{cases} V_{in} = Z_1 I \\ V_{out} = Z_2 I \end{cases} \quad \begin{cases} V_{in} = RI \\ V_{out} = (R1 \parallel \frac{1}{sC}) I \end{cases}$$

Obtinem aceeași funcție de transfer obținută cu metoda 1, Z1 și Z2 având aceeași formă.

### Metoda 3: calcul simbolic

Folosind Maple și pachetul Syrup se obține:

```
> Hcircuit:=eval(v[3]/v[1],tensiuni);
```

$$H_{circuit} := -\frac{A R I}{A R + R I + R + A s C R I + s C R R I}$$

### Calcularea funcției de transfer pentru AO ideal

```
> Hcircuitideal:=limit(Hcircuit,A=infinity);
```

$$H_{circuitideal} := -\frac{R I}{R (1 + s C R I)}$$

### Descrierea folosind ecuațiile de stare a circuitului

1. Ecuații de stare

```
> syrup(circuit,tran,'curenti','tensiuni');
```

Syrup/parsedeck: Analyzing SPICE deck "Integrator cu AO" (ignoring this line)

$$\left\{ \frac{\partial}{\partial t} v_C(t) = -\frac{R v_C(t) + A R v_C(t) + R I v_C(t) - R I V_{in} - R I A V_{in}}{C R R I (A + 1)}, v_C(0) = 0 \right\}, \{ v_C(t) \}$$

2. Ecuații de ieșire

```
> tensiuni;
```

$$\{ v_1 = V_{in}, v_2 = \frac{v_C(t)}{A + 1}, v_3 = -\frac{A v_C(t)}{A + 1} \}$$

```
> curenti:
```

## Integrator

### Descrierea circuitului

```
> integrator:=
```

```
"Integrator cu AO
```

```
Vin 1 0 Vin
```

```
R 1 2 R
```

```
C 2 3 C
```

```
E 3 0 0 2 A
```

```
.end":
```

### Calculul tensiunilor nodale și a curenților prin laturi

```
> syrup(integrator,ac,'curenti','tensiuni');
```

Syrup/parsedeck: Analyzing SPICE deck "Integrator cu AO" (ignoring this line)

```
> tensiuni;
```

$$\{ v_{Out} = -\frac{A V_{in}}{1 + s C R + A s C R}, v_{Ind} = \frac{V_{in}}{1 + s C R + A s C R}, v_{In} = V_{in} \}$$

> **curenti:**

**Calcularea functiei de transfer**

Exista mai multe metode de calcul a functiei de transfer

**Metoda 1 folosind formula amplificarii**

Stim ca functia de transfer a unui asemenea circuit este descrisa de formula:

$$H(s) = -\frac{Z_2(s)}{Z_1(s)}, \quad Z_2(s) = \frac{1}{s * C}, \quad Z_1(s) = G$$

Astfel functia de transfer devine:

$$H(s) = -\frac{1}{s * R * C}$$

**Metoda 2: folosind modelul nulor-norator**

Cu ajutorul modelului nulor-norator al AO:

Scriind ecuatiile Kirchoff 1 si 2 pe circuit :

$$\begin{cases} V_{in} = Z_1 I \\ V_{out} = Z_2 I \end{cases} \quad \begin{cases} V_{in} = R I \\ V_{out} = \frac{1}{s C} I \end{cases}$$

Obtinem aceeasi functie de transfer obtinuta cu metoda 1, Z1 si Z2 avand aceeasi forma.

**Metoda 3: calcul simbolic**

Folosind Maple si pachetul Syrup se obtine:

> **H:=eval(v[3]/v[1],tensiuni);**

$$H := -\frac{A}{1 + A s C R + s C R}$$

**Calcularea functiei de transfer pentru AO ideal**

> **Hideal:=limit(H,A=infinity);**

$$Hideal := -\frac{1}{s C R}$$

**Descrierea folosind ecuatiile de stare a circuitului**

1.Ecuatii de stare

> **syrup(integrator,tran,'curenti','tensiuni');**

Syrup/parsedeck: Analyzing SPICE deck "Integrator cu AO" (ignoring this line)

$$\{v_c(0) = 0, \frac{\partial}{\partial t} v_c(t) = \frac{-v_c(t) + Vin + A Vin}{R C (A + 1)}\}, \{v_c(t)\}$$

2. Ecuatii de iesire

> **tensiuni;**

$$\{v_1 = Vin, v_2 = \frac{v_c(t)}{A + 1}, v_3 = -\frac{A v_c(t)}{A + 1}\}$$

> **curenti:**

Pentru circuitul real daca consideram o gama de frecvente pentru care rezistenta R1 >> Zc(?):

> **limit(Hcircuitideal,R1=infinity);**

$$-\frac{1}{s C R}$$

**Obs:** calculind functia de transfer pentru circuitul real in gama de frecventa pentru care rezistenta R1 se poate neglija s-a obtinut aceeasi relatie.

## Funcția de transfer H(s)

S-a calculat în secțiunea anterioară funcția de transfer pentru circuitul real (cu rezistența R1) și pentru integrator:

$$\text{integrator: } H(s) = -\frac{\alpha}{s} \text{ cu } \alpha = \frac{1}{RC}$$

$$\text{circuit: } H(s) = -\frac{\alpha}{s + \alpha} \text{ cu } \alpha = \frac{1}{RC}, \alpha R = \frac{1}{C}$$

> **Hideal;Hcircuitideal;**

$$-\frac{1}{sCR}, -\frac{RI}{R(1+sCRI)}$$

Polii funcției de transfer:

> **RootOf(denom(Hideal)=0,s);RootOf(denom(Hcircuitideal)=0,s);**

$$0, -\frac{1}{CRI}$$

Evaluare numerică:

> **H:=eval(Hideal,[ C=22\*1E-9, R=10^3]);Hc:=eval(Hcircuitideal,[ C=22\*1E-9, R=10^3, R1=10^5]);PZ[numeric](Hc,s);**

$$H := -45454.54545 \frac{1}{s}, Hc := -100 \frac{1}{1 + .002200000 s} \quad [p1 \quad -454.5]$$

Polii funcției de transfer:

> **Bode[castig](H);Bode[faza](H); Bode[castig](Hc);Bode[faza](Hc);**

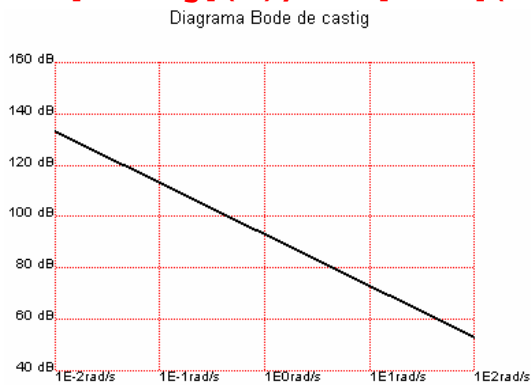


Diagrama Bode de faza

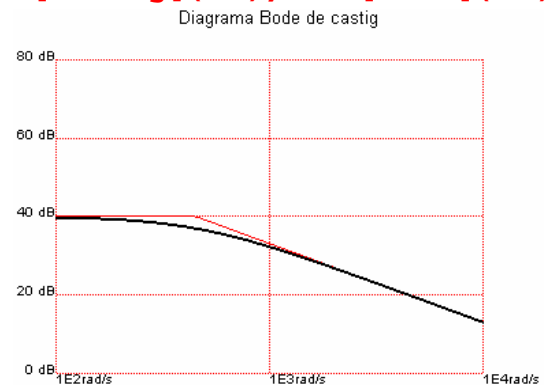
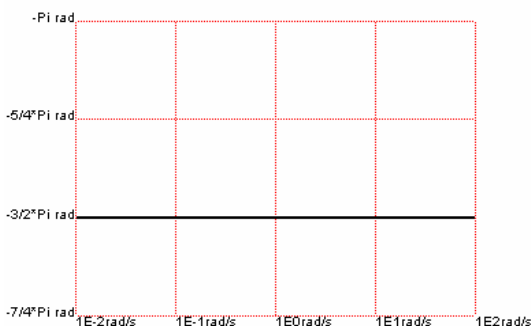
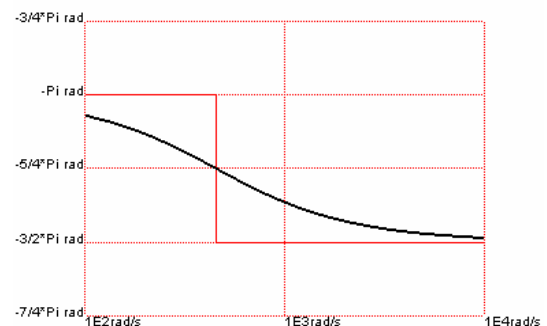


Diagrama Bode de faza



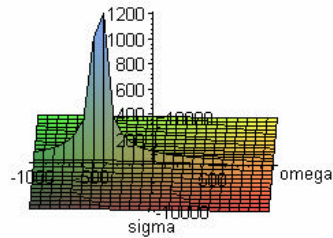
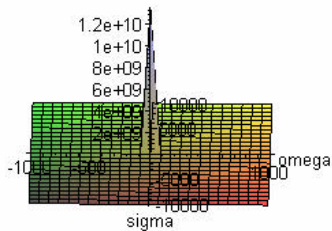
Interpretarea funcției de transfer:

> **plot3d(abs(eval(H,s=sigma+I\*omega)),sigma=-1000..1000,omega=-10000..10000,axes=normal,title="Reprezentarea in spatiu a modulului f.d.t.");**  
**plot3d(abs(eval(Hc,s=sigma+I\*omega)),sigma=-1000..1000,omega=-**

```
10000..10000,axes=normal,title="Reprezentarea in spatiu a
modulului f.d.t.");
```

Reprezentarea in spatiu a modulului f.d.t.

Reprezentarea in spatiu a modulului f.d.t.



## Funcția de transfer in regim permanent H(j?) )

```
>Hoideal:=subs(s=I*omega,Hideal);Hocircuitideal:=subs(s=I*omega,H
circuitideal);
```

$$Hoideal := \frac{I}{\omega CR}, \quad Hocircuitideal := -\frac{RI}{R(1+I\omega CR)}$$

```
> #assume(R,positive):assume(R1,positive):assume(C,positive):
```

```
>abs_H0:=abs(limit(Hocircuitideal,omega=0));arg_H0:=argument(limi
t(Hocircuitideal,omega=0));
```

```
abs_Hinf:=abs(limit(Hocircuitideal,omega=infinity));arg_Hinf:=ar
gument(limit(Hocircuitideal,omega=infinity));
```

```
abs_Halpha:=abs(eval(Hocircuitideal,omega=1/(R1*C)));arg_Halpha:
=argument(eval(Hocircuitideal,omega=1/(R1*C)));alpha=eval(1/(R1*
C),[R=10^3, C=22*1E-9, R1=10^5]);
```

$$abs_H0 := \left| \frac{RI}{R} \right|, \quad arg_H0 := \text{argument} \left( -\frac{RI}{R} \right), \quad abs_Hinf := 0, \quad arg_Hinf := 0$$

$$abs_Halpha := \frac{1}{2} \sqrt{2} \left| \frac{RI}{R} \right|, \quad arg_Halpha := \frac{3}{4} \pi, \quad \alpha = 454.5454545$$

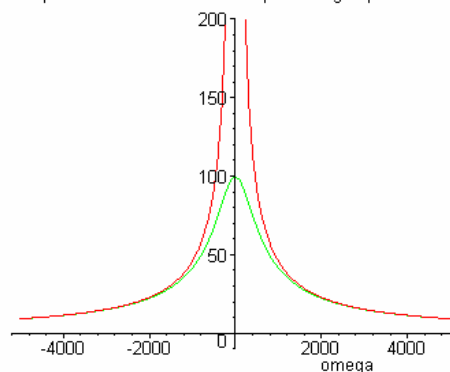
```
>plot( eval( [ abs(Hoideal), abs(Hocircuitideal) ] , [R=10^3,
C=22*1E-9, R1=10^5]), omega=-
```

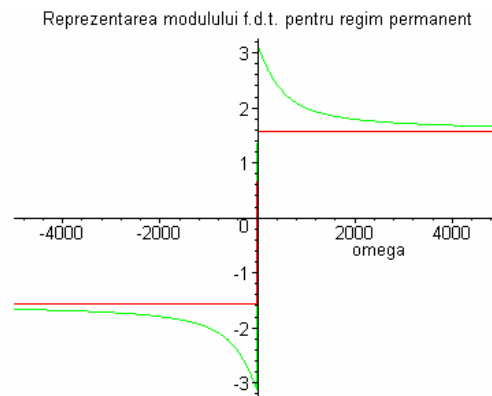
```
5000..5000,axes=normal,title="Reprezentarea modulului f.d.t.
pentru regim permanent", view=[DEFAULT, -10..200]);
```

```
plot( eval( [ argument(Hoideal), argument(Hocircuitideal) ] ,
[R=10^3, C=22*1E-9, R1=10^5]), omega=-
```

```
5000..5000,axes=normal,title="Reprezentarea modulului f.d.t.
pentru regim permanent");
```

Reprezentarea modulului f.d.t. pentru regim permanent





## Raspuns in regim permanent

```
> restart;
> libname:="c:\maple\SCSlib", libname:
> F:=table([dir=FOURIER, inv=inttrans[invfourier]]):
```

Determinarea raspunsului de regim permanent sinusoidal al circuitului cu AO

Pentru circuite liniare lucrând în regim permanent sinusoidal functia de transfer are semnificatia de **amplificare generalizata**. Un semnal  $e(t)=A\cos(\omega_0 t + j)$  aplicat la intrarea circuitului liniar descris de functia de transfer  $H(s)$  se regaseste la iesire sub forma:

$$y(t) = A |H(s)|_{s=j\omega_0} \cos(\omega_0 t + j + \arg H(s)_{s=j\omega_0})$$

adica amplificat cu modulul functiei de transfer la frecventa  $\omega_0$  si defazat suplimentar cu argumentul functiei de transfer la aceasi frecventa  $\omega_0$ .

Pentru un semnal de intrare format prin sumarea unui numar de semnale sinusoidale:

$$e(t) = A_0 + \sum_{k=1}^N A_k \cos(\omega_{0k} t + j_k)$$

iesirea se poate calcula pe baza proprietatii de liniaritate:

$$y(t) = A_0 H(j0) + \sum_{k=1}^N A_k |H(j\omega_{0k})| \cos(\omega_{0k} t + j_k + \arg H(j\omega_{0k}))$$

**Obs:** Integratorul are in cc amplificare teoretica infinita. Realizat practic un astfel de circuit nu functioneaza. El practic integreaza o componenta continua parazita si se satureaza. Schema a doua este o varianta de realizare practica in care amplificarea la JF a fost limitata. Schema a doua se comporta ca integrator pentru frecvente mult mai mari decit  $\alpha 1 = \frac{1}{RI C}$ .

```
> Hs:=-alpha/(s+alpha1);
```

$$Hs := -\frac{\alpha}{s + \alpha 1}$$

```
> Homega:=subs(s=I*omega, Hs);
```

$$Homega := -\frac{\alpha}{I \omega + \alpha 1}$$

Atenuarea in cc este:

```
> limit(Homega, omega=0);
```

$$-\frac{\alpha}{\alpha 1}$$

**Raspunsul la semnal armonic**

In acest caz expresia excitatiei  $e(t)$  este de forma:

> **e:=A0\*cos(w\*t);**

$$e := A0 \cos(\omega t)$$

Transformata Fourier a excitatiei  $e(t)$  este:

> **E:=F[dir](e,t,omega);**

$$E := A0 \pi \text{Dirac}(\omega + \omega) + A0 \pi \text{Dirac}(-\omega + \omega)$$

Transformata Fourier a excitatiei  $y(t)$  este:

> **Y:=Homega\*E;**

$$Y := - \frac{\alpha (A0 \pi \text{Dirac}(\omega + \omega) + A0 \pi \text{Dirac}(-\omega + \omega))}{I \omega + \alpha 1}$$

Raspunsul  $y(t)$  al circuitului la excitatiea  $e(t)$  este:

> **y:=simplify(normal(convert(F[inv](Y,omega,t),trig),expanded));**

$$y := - \frac{\alpha A0 (\omega \sin(\omega t) + \alpha 1 \cos(\omega t))}{\omega^2 + \alpha 1^2}$$

La acelasi rezultat se putea ajunge urmarind pasii de calcul:

$$H(j\omega) = \frac{a}{j\omega + a_1}$$

Modulul si faza functiei de transfer:

$$\begin{cases} |H(j\omega)| = \frac{a}{\sqrt{\omega^2 + a_1^2}} \\ \arg(H(j\omega)) = p - \text{arctg} \frac{\omega}{a_1} \end{cases}$$

Forma generala a raspunsului permanent:

$$y(t) = A_0 |H(j\omega)| \cos(\omega t + \arg(H(j\omega)))$$

Raspunsul permanent este:

$$y(t) = A_0 \frac{a}{\sqrt{\omega^2 + a_1^2}} \cos\left(\omega t + p - \text{arctg} \frac{\omega}{a_1}\right)$$

**Raspunsul la semnal armonic de frecventa egala cu frecventa polului**

> **e1:=eval(e,w=alpha1);**

$$e1 := A0 \cos(\alpha 1 t)$$

> **y1:=simplify(eval(y,w=alpha1));**

$$y1 := - \frac{1}{2} \frac{\alpha A0 (\sin(\alpha 1 t) + \cos(\alpha 1 t))}{\alpha 1}$$

**Obs:** Semnalul de iesire este defazat fata de intrare cu  $-\frac{\pi}{4}$  si atenuat cu  $-\frac{\alpha}{\alpha 1 \sqrt{2}}$  (cu  $\frac{1}{\sqrt{2}}$  fata de atenuarea din banda).

**Raspunsul la semnal armonic de frecventa inalta**

> **e;**

$$A0 \cos(\omega t)$$

> **y;**



$$-\frac{\alpha A0 (w \sin(w t) + \alpha 1 \cos(w t))}{w^2 + \alpha 1^2}$$

> `limit(y,alpha1=0);`

$$-\frac{\alpha A0 \sin(w t)}{w}$$

Obs: iesirea este integrala intrarii!

## Raspuns de regim tranzitoriu

> `restart:with(intttrans):`

> `libname:="c:\maple\SCSlib",libname:`

> `L:=table([dir=intttrans[laplace],inv=intttrans[invlaplace]]):`

> `assume(_alpha,positive):assume(_omega,positive):assume(_tau,positive):assume(_T,positive):`

Consideram circuitul liniar cu AO pentru care am determinat functia de transfer  $H(s)$ . Excitatiea este  $e(t)$  si raspunsul este tensiunea  $y(t)$ . In situatia in care semnalul  $e(t)$  este cauzal, circuitul functioneaza in regim tranzitoriu. In studiul comportarii de regim tranzitoriu se utilizeaza *transformata Laplace*. Vom nota cu  $Y(s)$  transformata Laplace a semnalului  $y(t)$  si cu  $E(s)$  transformata Laplace a semnalului excitatie  $e(t)$ . Metodologia de calcul a raspunsului  $y(t)$  la excitatiea  $e(t)$  pentru un circuit este urmatoarea:

- Determinarea lui  $E(s)$  din  $e(t)$ , folosind *transformata Laplace directa*.
- Determinarea lui  $Y(s)$ , folosind relatia  $Y(s) = H(s) E(s)$ .
- Determinarea lui  $y(t)$  din  $Y(s)$ , folosind *transformata Laplace inversa*.

Pentru circuit functia de transfer este:

> `Hs:=-alpha/(s+alpha1);`

$$Hs := -\frac{\alpha}{s + \alpha 1}$$

## Raspunsul la semnal treapta

In acest caz expresia excitatiea  $e(t)$  este de forma:

> `e:=A0*Heaviside(t);`

$$e := A0 \text{Heaviside}(t)$$

- Transformata Laplace a excitatie  $e(t)$  este:

> `E:=L[dir](e,t,s);`

$$E := \frac{A0}{s}$$

- Transformata Laplace a excitatie  $y(t)$  este:

> `Y:=Hs*E;`

$$Y := -\frac{\alpha A0}{(s + \alpha 1) s}$$

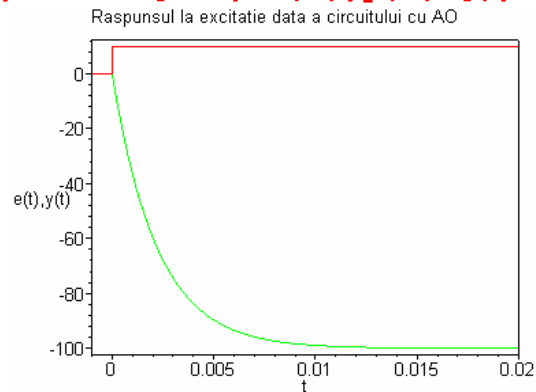
- Raspunsul  $y(t)$  al circuitului la excitatiea  $e(t)$  este:

> `y:=L[inv](Y,s,t)*Heaviside(t);`

$$y := -\alpha A0 \left( -\frac{e^{(-\alpha 1 t)}}{\alpha 1} + \frac{1}{\alpha 1} \right) \text{Heaviside}(t)$$

Se reprezita semnalele de intrare si iesire pentru valorile din schema ale rezistentelor si ale condensatorului:

```
> plot(eval([10*e, subs([alpha=1/(R*C), alpha1=1/(R1*C)],y)],
[A0=1,C=22*1E-9, R=10^3, R1=10^5]), t=-0.001..0.02,numpoints =
200,thickness=1,axes=box,title="Raspunsul la excitatie data a
circuitului cu AO",labels=["t","e(t),y(t)"]);
```



## Raspunsul la semnal dreptunghiular

In acest caz expresia excitatie  $e(t)$  este de forma:

```
> e:=A0*(Heaviside(t)-Heaviside(t-tau));
e := A0(Heaviside(t) - Heaviside(t - tau))
```

• Transformata Laplace a excitatie  $e(t)$  este:

```
> E:=subs(_tau=tau,L[dir](subs(tau=_tau,e),t,s));
E := A0 \left( \frac{1}{s} - \frac{e^{(-s \tau)}}{s} \right)
```

• Transformata Laplace a excitatie  $y(t)$  este:

```
> Y:=Hs*E;
```

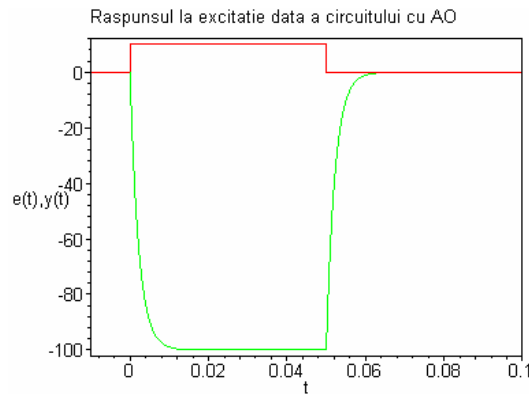
$$Y := -\frac{\alpha A0 \left( \frac{1}{s} - \frac{e^{(-s \tau)}}{s} \right)}{s + \alpha 1}$$

• Raspunsul  $y(t)$  al circuitului la excitatie  $e(t)$  este:

```
> y:=L[inv](Y,s,t)*Heaviside(t);
y := -\alpha A0 \left( \frac{(e^{(\alpha 1 (-t + \tau))} - 1) \text{Heaviside}(t - \tau)}{\alpha 1} - \frac{e^{(-\alpha 1 t)} - 1}{\alpha 1} \right) \text{Heaviside}(t)
```

Se reprezita semnalele de intrare si iesire pentru valorile din schema ale rezistentelor si ale condensatorului:

```
> plot(eval([10*e, subs([alpha=1/(R*C), alpha1=1/(R1*C)],y)],
[A0=1,tau = 0.05, C=22*1E-9, R=10^3, R1=10^5]), t=-
0.01..0.1,numpoints = 200,thickness=1,axes=box,title="Raspunsul
la excitatie data a circuitului cu
AO",labels=["t","e(t),y(t)"]);
```



## Raspunsul la succesiune de pulsuri dreptunghiulare, bipolar - simetrice

> **N:=10:**

In acest caz expresia excitatie  $e(t)$  este de forma:

```
> e:=( -A0/2+A0*sum(Heaviside(t-n*T)-Heaviside(t-tau-n*T),n=0..N-1))*Heaviside(t):
```

- Transformata Laplace a excitatie  $e(t)$  este:

```
> E:=subs([_tau=tau,_T=T],L[dir](subs([T=_T,tau=_tau],e),t,s)):
```

- Transformata Laplace a excitatie  $y(t)$  este:

```
> Y:=Hs*E:
```

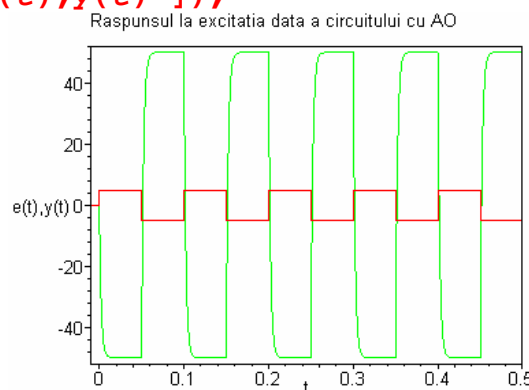
- Raspunsul  $y(t)$  al circuitului la excitatie  $e(t)$  este:

>

```
y:=subs([_tau=tau,_T=T,_alpha=alpha],L[inv](subs([T=_T,tau=_tau,alpha=_alpha],Y),s,t))*Heaviside(t):
```

Se reprezita semnalele de intrare si iesire pentru valorile din schema ale rezistentelor si ale condensatorului:

```
> plot(eval([10*e, subs([alpha=1/(R*C), alpha1=1/(R1*C)],y)], [A0=1,T = 0.1, tau = 0.05, C=22*1E-9, R=10^3, R1=10^5]), t=-0.01..0.5,numpoints = 200,thickness=1,axes=box,title="Raspunsul la excitatie data a circuitului cu AO",labels=["t","e(t),y(t)"]);
```

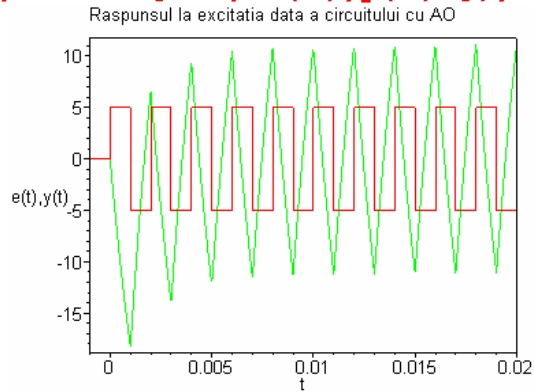


## Comportare ca integrator

Se modifica frecventa semnalului dreptunghiular (perioada T) cu pastrarea unui factor de umplere de 50%. Se observa regimul tranzitoriu :

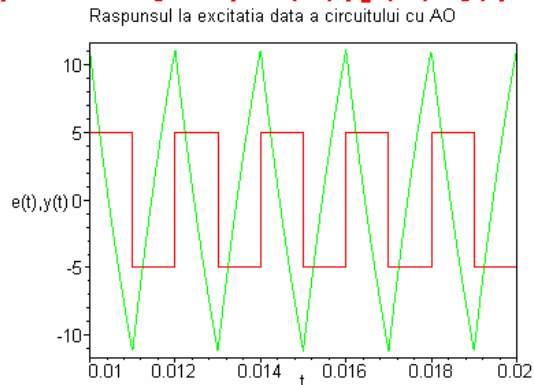
```
> plot(eval([10*e, subs([alpha=1/(R*C), alpha1=1/(R1*C)],y)], [A0=1,T = 0.002, tau = 0.001, C=22*1E-9, R=10^3, R1=10^5]), t=-0.001..0.02,numpoints = 200,thickness=1,axes=box,title="Raspunsul la excitatie data a
```

**circuitului cu AO",labels=["t","e(t),y(t)"]];**



Se vizualizeaza semnalul pe un interval de timp cind regimul tranzitoriu se poate considera stins:

```
> plot(eval([10*e, subs([alpha=1/(R*C), alpha1=1/(R1*C)],y)],
[A0=1,T = 0.002, tau = 0.001, C=22*1E-9, R=10^3, R1=10^5]),
t=0.01..0.02,numpoints =
200,thickness=1,axes=box,title="Raspunsul la excitatia data a
circuitului cu AO",labels=["t","e(t),y(t)"]];
```



**Obs:** Perioada la care se lucreaza este  $T \ll \frac{2\pi}{\alpha l}$ .

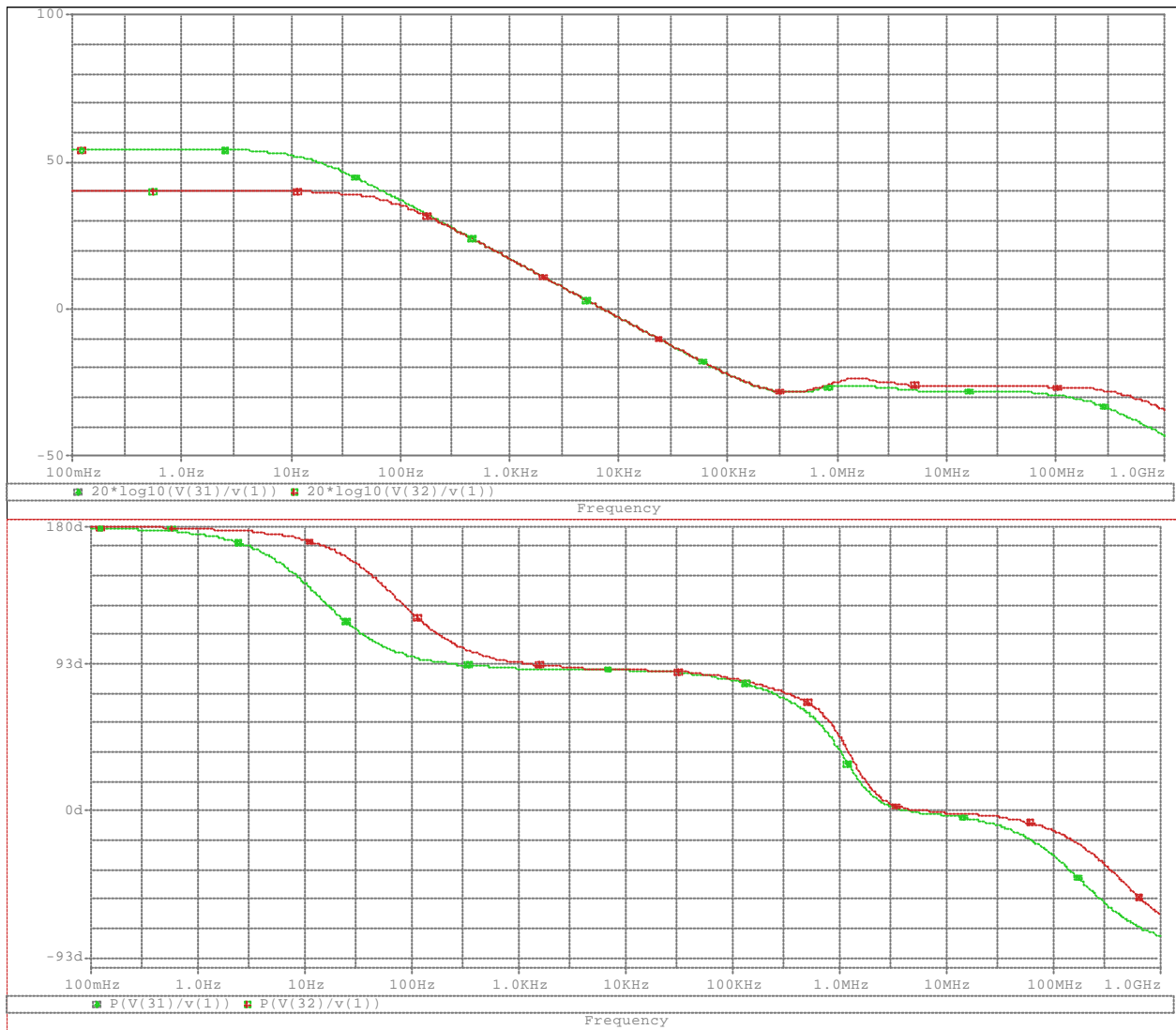
## Analiza PSPICE

Descriere PSpice:

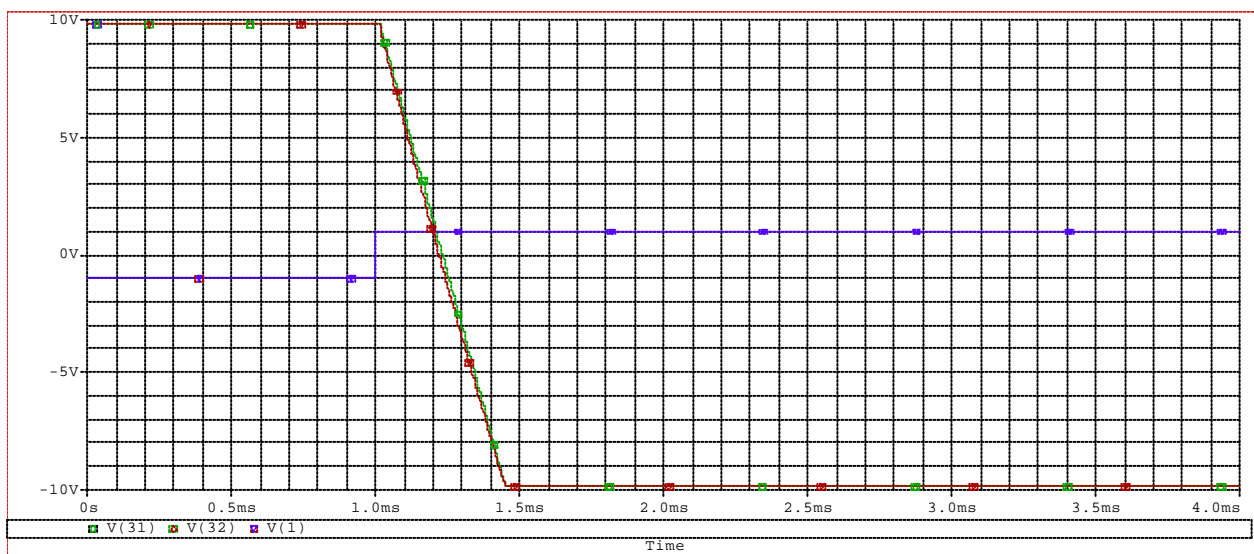
```
*circuit
VIN 1 0 AC 1
VCC+ VCC+ 0 10V
VCC- VCC- 0 -10V
R1 1 21 1K
C1 21 31 22N
XOPAMP1 0 21 VCC+ VCC- 31 uA741
R2 1 22 1K
C2 22 32 22N
Rcom 22 32 100K
XOPAMP2 0 22 VCC+ VCC- 32 uA741
.LIB "opamp.lib"
.AC dec 100 0.1 1000Meg
.PROBE
.END
```

```
*circuit
VIN 1 0 pulse(-1V 1V 0.3mS 1us 2us 0.3ms 0.602ms)
VCC+ VCC+ 0 10V
VCC- VCC- 0 -10V
R1 1 21 1K
C1 21 31 22N
XOPAMP1 0 21 VCC+ VCC- 31 uA741
R2 1 22 1K
C2 22 32 22N
Rcom 22 32 100K
XOPAMP2 0 22 VCC+ VCC- 32 uA741
.LIB "opamp.lib"
.TRAN 5us 150ms 0 10us
.PROBE
.END
```

**Diagrama Bode de modul si faza pentru cele doua circuite:**

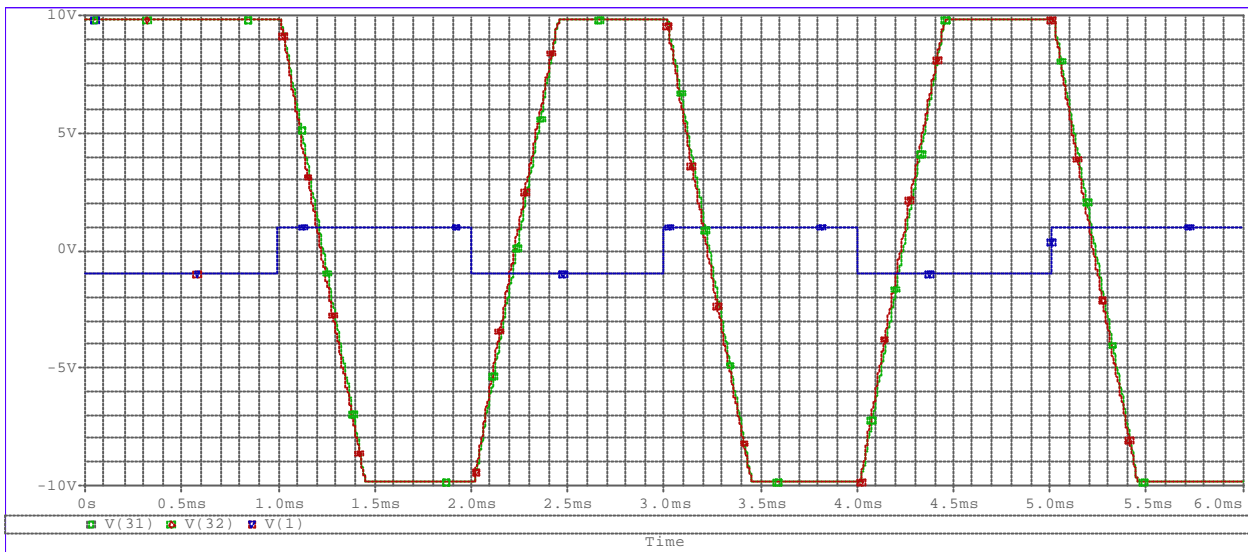


**Funcția pondere**

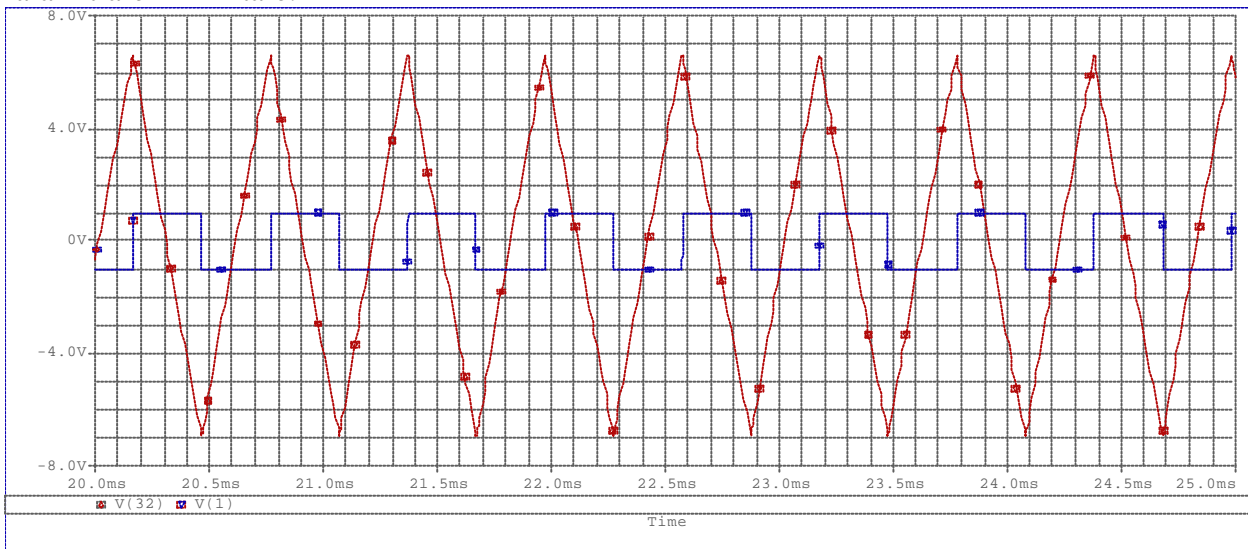


## Comportare de integrator

cu intrare in limitare:



fara intrare in limitare:



stingerea regimului tranzitoriu si amplificare in c.c.

